

Rele Analisa Koordinasi *Setting* Rele Mengurangi Daerah Padam Pada Penyulang PE6 Di PT. PLN (PERSERO) Rayon Kotanopan

Indra Roza¹, Agus Almi Nasution²

^{1,2} Program Studi Teknik Elektro, Fakultas Teknik dan Komputer
Universitas Harapan Medan

Jl. HM. Joni No.70C, Kota Medan, Telp. +62617366804, Sumatera Utara 20217
e-mail: indraroza.ir@gmail.com¹, agusalminst@gmail.com²

Abstrak— Peralatan proteksi pada jaringan tegangan menengah 20 kV berperan memutuskan gangguan yang dapat berakibat meluasnya daerah padam. Besar arus gangguan di pengaruhi setting peralatan proteksi di jaringan sehingga selektif pada daerah yang terkena gangguan. Koordinasi peralatan proteksi sangat dibutuhkan agar gangguan tidak meluas dan merugikan konsumen. PT. PLN (Persero) Rayon Kotanopan disuplai Gardu Induk Padang Sidempuan penyulang PE6. Besar reaktansi sumber penyulang PE6 adalah 0,2278 ohm, reaktansi trafo daya adalah 7,92 ohm dan impedansi 18,8094+j28,7535 ohm. Penyulang PE6 panjangnya mencapai 107 Kms, terdapat tiga peralatan proteksi utama di jaringan tegangan menengah yaitu, GH Pintu Padang, *Recloser* Perbangunan dan *Recloser* Maga. Kendala yang dihadapi ketiga peralatan proteksi tersebut adalah belum bisa berkoordinasi secara maksimal, sehingga gangguan yang terjadi pada jaringan tegangan menengah tidak bisa *edback up* oleh peralatan proteksi , sehingga daerah padam menjadi semakin luas. Besar arus gangguan tiga fasa 274,88 sampai dengan 8745,91 ampere, dua fasa 238,05 sampai dengan 7574,18 ampere, satu fasa ketanah 107,38 sampai dengan 285,65 ampere. Besar *setting* penyulang PE6 OCR 200 Ampere menggunakan kurva *standart Invers* dengan *Time Multiple Setting*nya 0,09 sedangkan arus instantnya disetting 600 amper, *setting* *Ground Fault Relai* (GFR) arus *setting* 20 amper, menggunakan kurva *standart invers Time Multiple setting*nya 0,09 sedangkan arus instannya disetting 60 Amper. Dampak diperoleh hasil perhitungan arus gangguan hubung singkat dan *setting* peralatan proteksi yaitu: akan memudahkan petugas menentukan titik lokasi gangguan berdasarkan jenis gangguan dan arus gangguan yang muncul pada layar peralatan proteksi. *Setting* peralatan proteksi berkaitan dengan koordinasi antar peralatan proteksi bekerja sesuai dengan syarat-syarat baik antar peralatan proteksi membuat pelayanan penyaluran tenaga listrik tetap prima, mengamankan daerah kerjanya sehingga pemadaman akibat gangguan bisa diminimalisir. *Recloser* Maga dan *recloser*. Perbangunan yang tadinya jarang bekerja sekarang telah bekerja sesuai fungsinya mengamankan gangguan di wilayahnya.

Kata kunci : Analisis, Koordinasi *Setting* Rele, Gangguan, Penyulang FE6

Abstract— Protection equipment in the 20 kV medium voltage network plays a role in deciding the interference that can result in the expansion of the outage area. The magnitude of the fault current is influenced by the settings of the protection equipment in the network so that it is selective in the area affected by the disturbance. Coordination of protective equipment is needed so that interference does not spread and harm consumers. PT. PLN (Persero) Kotanopan Rayon is supplied with the Padang Sidempuan Substation, which feeds PE6. The reactance of the PE6 feeder source is 0.2278 ohms, the power transformer reactance is 7.92 ohms and the impedance is 18.8094+j28.7535 ohms. The PE6 feeder reaches 107 Kms in length, there are three main protection equipment in the medium voltage network, namely, GH Pintu Padang, Construction Recloser and Maga Recloser. The obstacle faced by the three protection equipment is that they have not been able to coordinate optimally, so that disturbances that occur in the medium voltage network cannot be backed up by the protection equipment, so that the outage area becomes wider. The magnitude of the three-phase fault current is 274.88 to 8745.91 amperes, two-phase is 238.05 to 7574.18 amperes, one phase to ground is 107.38 to 285.65 amperes. The setting for the PE6 OCR feeder is 200 Ampere using the standard Inverse curve with Time Multiple Setting 0.09 while the instant current is set to 600 amperes, the Ground Fault Relay (GFR) setting is 20 amperes, using the standard curve inverse Time Multiple setting is 0.09 while the instant current is set to 60 amperes. The impact is obtained from the calculation of the short circuit fault current and the setting of the protection equipment, namely: it will make it easier for officers to determine the fault location point based on the type of disturbance and the fault current that appears on the screen of the protection equipment. The setting of protection equipment is related to the coordination between protective equipment working in accordance with good requirements between protection equipment, making electricity distribution services remain excellent, securing the work area so that blackouts due to disturbances can be minimized. The Maga recloser and the Construction recloser, which previously rarely worked, have now worked according to their function of securing disturbances in their area.

Keywords : Analysis, Relay Setting Coordination, Fault, Feeder FE6

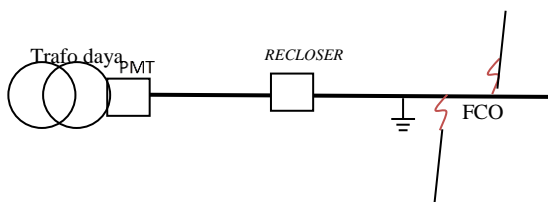
I. PENDAHULUAN

Peralatan proteksi pada jaringan tegangan menengah 20 kV sangat berperan penting dalam memutus gangguan yang dapat berakibat meluasnya daerah padam akibat gangguan. Perhitungan arus gangguan sangat berperan penting terhadap perhitungan setting peralatan proteksi di jaringan, sehingga sesuai dengan prinsip peralatan proteksi harus selektif artinya bisa menyeleksi daerah yang terkena gangguan. Koordinasi peralatan proteksi sangat dibutuhkan agar gangguan yang ada tidak makin meluas dan merugikan makin banyak konsumen. Koordinasi yang baik dari peralatan proteksi juga berguna untuk melindungi peralatan listrik maupun makhluk hidup disekitarnya. PT. PLN (Persero) Rayon Kotanopan disuplai oleh satu penyulang dari Gardu Induk Padang Sidempuan yaitu penyulang PE6. Pada penyulang PE6 yang panjangnya mencapai 107 Kms, terdapat tiga peralatan proteksi utama di jaringan tegangan menengah yaitu, GH Pintu Padang, Recloser Perbangunan dan Recloser Maga. Kendala yang dihadapi ketiga peralatan proteksi tersebut adalah belum bisa berkoordinasi secara maksimal, sehingga gangguan yang terjadi pada jaringan tegangan menengah tidak bisa *diback up* oleh peralatan proteksi, sehingga daerah padam menjadi semakin luas. Dari permasalahan tersebut, penulis ingin memberikan solusi bagaimana agar antar peralatan proteksi bisa saling berkoordinasi sehingga area padam bisa diminimalkan.

II. TINJAUAN PUSTAKA

A. Sistem Proteksi Jaringan Tegangan Menengah

Sistem proteksi jaringan tegangan menengah atau bisa disebut juga sistem proteksi distribusi adalah serangkaian cara untuk mencegah kerusakan yang lebih luas pada peralatan listrik ketika terjadi gangguan pada Jaringan Tegangan Menengah (JTM). Gangguan yang terjadi bisa akibat dari tegangan lebih (*over voltage*) dan juga akibat arus lebih (*over current*). Sistem proteksi harus dapat bekerja secara kontinyu agar pelayanan penyaluran tenaga listrik ke konsumen tidak terganggu atau bahkan sampai menimbulkan kerusakan.



Gambar 1. Diagram Satu Garis Sistem Proteksi JTM 20kV

Sistem distribusi tenaga listrik dimulai dari trafo daya yang berada Gardu Induk. Sedangkan sistem proteksi pada JTM 20kV dimulai dari Pemutus Tegangan (PMT) di sisi 20kV di gardu induk, selanjutnya pada jaringan tegangan menengah ada beberapa macam sistem proteksi antara lain Penutup balik Otomatis (*recloser*), *Fuse Cut Out* (FCO) dan *Lightning Arrester* (LA).

III. METODE

Rayon Kotanopan disuplai oleh satu penyulang yaitu penyulang PE6 dari trafo daya 3 (TD3) gardu induk Padang Sidempuan. Sementara pada penyulang PE6 terdapat tiga peralatan proteksi JTM yaitu Gardu Hubung Pintu Padang 1 (GHPP1), *Recloser* Perbangunan dan *Recloser* Maga.

A. Data Pendukung

Adapun data-data lapangan yang diperlukan untuk analisis tugas akhir ini adalah sebagai berikut :

Data trafo tenaga yang menyuplai Penyulang PE6 dari Gardu induk Padang Sidempuan adalah :

| | |
|---------------------------|---------------|
| Merk | = UNINDO |
| Daya | = 60MVA |
| Data Hubung Singkat 150kV | = 1760 MVA |
| Tegangan | = 150/20 KV |
| Impedansi | = 11,88% |
| Arus nominal sek | = 1732 Ampere |
| Hub. Belitan trafo | = YNyn0(d) |
| NGR | = 40 ohm |

B. Data Penyulang 20 kV

Data penyulang 20 KV yang menyuplai Rayon Kotanopan adalah :

| | |
|--------------------|------------------------|
| Nama penyulang | = PE6 Asal Gardu Induk |
| | = GI Padang Sidempuan |
| Panjang penghantar | = 107 kms |
| Jenis penghantar | = AAC |

Tabel 1. Data Kawat pada Penyulang PE6

| No | Jenis Penghantar | Ukuran | Panjang |
|----|------------------|--------|---------|
| 1 | AAAC | 150 mm | 87 |
| 2 | AAAC | 250 mm | 20 |

C. Data Peralatan Proteksi

Data peralatan serta data setting relai proteksi JTM sebelum dilakukan perhitungan pada penyulang PE6 dapat dijabarkan sebagai berikut :

Tabel 2. Data Peralatan dan Data Setting proteksi Penyulang PE6

| SETTING |
|---------|
|---------|

| OCR | | | | GFR | | | |
|------|----------------|-------|--------------------|------|----------------|------|---------------------|
| I > | Curve; tms> | I >> | Curve, tms>> | Io > | Curve; tms> | Io>> | Curve; tms>> |
| 200A | SI; 0,03 | 1000A | Deft; 00ms | 20A | SI 0,03 | 150A | Deft; 00ms B. |
| 150A | SI; 0,05 | 750A | IEC SI; 0,05 | 20A | SI; 0,05 | 100A | SI; 0,05D |
| 120A | SI ; 0,04 | 600A | SI ; 0,04 | 20A | SI ; 0,04 | 100A | SI ; 0,04m Pc |

Perhitungan masing-masing jenis gangguan dilakukan berdasarkan panjang jaringan distribusi 20kV berdasarkan persen jarak, 1%-100% dari panjang penyulang PE6.

D. Data Gangguan JTM

Data gangguan yang tercantum dalam tabel berikut adalah data gangguan JTM dari tanggal 27 Mei 2017 sampai 31 Mei 2019.

Tabel 3. Data Gangguan JTM

| Tabel 3. Data Gangguan JTM | | | | | | | | |
|----------------------------|-------|------|------|------|-----------|---------------|------------|-----------------------------|
| 0-5-010 | QHPP1 | 125 | 125 | 0110 | MON10 | TOKO10HULU | 0110101010 | TYPE BMT |
| | QHPP1 | 1034 | 1011 | 0110 | MON10 | TOKO10HULU | 0110101010 | TYPE BMT |
| 0-5-010 | QHPP1 | 1046 | 1047 | 0110 | MON10 | TOKO10HULU | 0110101010 | TYPE BMT |
| 0-5-010 | QHPP1 | 1011 | 1021 | 0110 | MON10HULU | MON10HULU | 0110101010 | FBODULAH PERIODIK 100000 |
| | QHPP1 | 1108 | 1102 | 0110 | MON10HULU | TOKO10HULU | 0110101010 | TYPE BMT |
| | QHPP1 | 1041 | 1051 | 0110 | MON10HULU | TOKO10HULU | 0110101010 | TYPE BMT |
| 0-5-010 | QHPP1 | 1033 | 1040 | 0110 | MON10HULU | TELEKOM10HULU | 0110101010 | FBODULAH PERIODIK 100000 |
| | QHPP1 | 1051 | 1051 | 0110 | MON10HULU | WAT10HULU | 0110101010 | TYPE BMT |
| | QHPP1 | 1057 | 1058 | 0110 | MON10HULU | TOKO10HULU | 0110101010 | TYPE BMT |
| | QHPP1 | 1035 | 1037 | 0110 | MON10HULU | TOKO10HULU | 0110101010 | TYPE BMT |
| | QHPP1 | 1030 | 1012 | 0110 | MON10HULU | TOKO10HULU | 0110101010 | PERIODIK 100000 |
| 0-5-010 | QHPP1 | 1040 | 1040 | 0110 | MON10HULU | TOKO10HULU | 0110101010 | TYPE BMT |
| | QHPP1 | 1028 | 1021 | 0110 | MON10HULU | TOKO10HULU | 0110101010 | TYPE BMT |
| | QHPP1 | 1041 | 1040 | 0110 | MON10HULU | TOKO10HULU | 0110101010 | TYPE BMT |
| | QHPP1 | 1038 | 1018 | 0110 | MON10HULU | TOKO10HULU | 0110101010 | TYPE BMT |

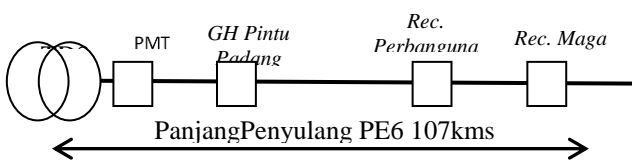
IV. HASIL DAN PEMBAHASAN

Hasil penelitian dibahas dan dibandingkan dengan hasil penelitian dari artikel yang diacu, jika mungkin.

A. Perhitungan Nilai Arus Gangguan Hubung Singkat

Seperti telah dijelaskan pada bab sebelumnya perhitungan nilai arus gangguan hubung singkat dalam sistem distribusi ada tiga, yaitu :

1. Gangguan hubung singkat tiga fasa.
 2. Gangguan hubung singkat dua fasa.
 3. Gangguan hubung singkat satu fasa dengan tanah.



Gambar 2. Diagram Satu Garis Penyulang PE6

ns-B. Menghitung Reaktansi Sumber

;
5Data hubung singkat di sisi 150kV di Gardu Induk
 Padang Sidempuan diketahui sebesar 1760 MVA,
4maka dapat dihitung reaktansi sumber (X_s) adalah :

$$X_{sc} = \frac{kV^2}{MVA}$$

$$\frac{150^2}{1760}$$

$$X_{sc} = 12.78 \text{ ohms}$$

Sementara di sisi 20kV maka:

$$X_s(\text{sis}i \ 20\text{kV}) = \frac{20^2}{150^2} \cdot X_{sc}$$

$$= \frac{20^2}{150^2} \cdot 12,78$$

$$= 0,2278 \text{ ohm}$$

C. Menghitung Reaktansi Trafo Daya

Reaktansi urutan positif (X_1) dan reaktansi urutan negatif (X_2) pada transformator tenaga tercantum pada papan nama (*nameplate*), nilai X_1 dan X_2 biasanya berkisar antara 10-14%.

Selanjutnya untuk menghitung reaktansi trafo X_t (ohm) menggunakan rumus :

$$\begin{aligned} X_{t100\%} &= \frac{kV^2}{MVA \text{ trafo}} \\ X_{t100\%} &= \frac{20^2}{60} = 6,667 \text{ ohm} \\ X_{t1=t2} &= X_{t100\%} * X_1 \\ &= 6,667 * 11,88\% \\ &= 0,792 \text{ ohm} \end{aligned}$$

Untuk Transformator tenaga TD3 dengan hubungan belitan YY dan tidak mempunyai belitan delta didalamnya, maka besarnya XT_0 berkisar antara 9 s/d 14 x X_t dan ditetapkan nilainya 10 x X_t ,

Maka:

$$X_{t_0} = 10 \times X_{t_1} \\ \equiv 7.92 \text{ ohm}$$

D. Menghitung Impedansi Penyulang

Perhitungan impedansi pada jaringan tegangan menengah meliputi perhitungan impedansi urutan positif, urutan negatif dan urutan nol sesuai dengan jarak per kilometer dari panjang penyulang yang akan dihitung. Nilai impedansi tergantung dari jenis penghantar, luas penampang dan panjang penghantar pada penyulang tersebut.

Panjang penyalang PE6 = 107 kms, dengan panjang penghantar AAC ukuran 150mm^2 = 87 kms dan panjang penghantar AAC ukuran 240mm^2 = 20 kms.

Tabel 4. Data Impedansi Jaringan Kawat 150 mm²

| PE6 (GI-Rec Maga) | | Z0 Saluran (ohm) | 37.2377 | 172.8340 |
|--------------------------|---------|-------------------------|----------------|-----------------|
| A3C 150 mm ² | R | jX | | |
| Z1 ohm/Km | 0.2162 | 0.3305 | | |
| Zo ohm/Km | 0.3631 | 1.6180 | | |
| Saluran terpanjang | 87 km | | | |
| Z1 Saluran (ohm) | 18.8094 | 28.7535 | | |
| Zo Saluran (ohm) | 31.5897 | 140.7660 | | |

Untuk impedansi penyulang dihitung berdasarkan panjang jarak penyulang, dari 1%-100%. Yang pertama adalah impedansi untuk penghantra ukuran 150mm² sepanjang 87 kms, data diambil dari tabel sebelumnya. Impedansi urutan positif sepanjang 87 kms (100%) adalah :

$$\begin{aligned} Z_1 &= Z_1 (\text{ohm/kms}) \times 87\text{kms} \\ &= 0,2162 + j0,3305 \times 87 \\ &= 18,8094 + j28,7535 \text{ ohm} \end{aligned}$$

Sementara untuk impedansi urutan nol sepanjang 87 kms adalah :

$$\begin{aligned} Z_0 &= Z_0 (\text{ohm/kms}) \times 87\text{kms} \\ &= 0,3631 + j1,6180 \times 87 \\ &= 31,5897 + j140,7660 \text{ ohm} \end{aligned}$$

Tabel 5. Hasil Perhitungan Impedansi Kawat 150 mm²

| | Z1 | | Z0 | |
|------|-----------|-----------|-----------|-----------|
| | R | Jx | R | jx |
| 1% | 0.1094 | 0.27535 | 0.31897 | 1.40766 |
| 5% | 0.94047 | 1.437675 | 1.579485 | 7.0383 |
| 10% | 1.8809400 | 2.87535 | 3.15897 | 14.0766 |
| 15% | 2.82141 | 4.313025 | 4.738455 | 21.1149 |
| 20% | 3.76188 | 5.7507 | 6.31794 | 28.1532 |
| 25% | 4.70235 | 7.188375 | 7.897425 | 35.1915 |
| 30% | 5.64282 | 8.62605 | 9.47691 | 42.2298 |
| 35% | 6.58329 | 10.06373 | 11.0564 | 49.2681 |
| 40% | 7.52376 | 11.5014 | 12.63588 | 56.3064 |
| 45% | 8.46423 | 12.93908 | 14.21537 | 63.3447 |
| 50% | 9.4047 | 14.37675 | 15.79485 | 70.383 |
| 55% | 10.34517 | 15.81443 | 17.37434 | 77.4213 |
| 60% | 11.28564 | 17.2521 | 18.95382 | 84.4596 |
| 65% | 12.22611 | 1.68978 | 20.53331 | 91.4979 |
| 70% | 13.16658 | 20.12745 | 22.11279 | 98.5362 |
| 75% | 14.10705 | 21.56513 | 23.69228 | 105.5745 |
| 80% | 15.04752 | 23.0028 | 25.27176 | 112.6128 |
| 85% | 15.98799 | 24.44048 | 26.85125 | 119.6511 |
| 90% | 16.92846 | 25.87815 | 28.43073 | 126.6894 |
| 95% | 17.86893 | 27.31583 | 30.01022 | 133.7277 |
| 100% | 18.8094 | 28.7535 | 31.5897 | 140.766 |

Selanjutnya untuk menghitung impedansi per panjang penyulang, dapat menggunakan tabel 5 diatas. Setelah kawat AAC 150mm² sejauh 87 kms sudah dihitung impedansinya, selanjutnya adalah menghitung impedansi untuk kawat AAC ukuran 240mm² sejauh 20 kms.

Tabel 6. Data Impedansi Jarinan kawat 240 mm²

| PE6 (REC MAGA-UJUNG) | R | jX |
|---|----------|-----------|
| A3C 240 mm ² | | |
| Z1 ohm/km | 01344 | 0.3158 |
| Zo ohm/km | 0.2824 | 1.6034 |
| Saluran Panjang | 20 km | |
| TAMBAHKAN DGN Z1 DAN Z0 A3C 150 mm² | | |
| Z1 Saluran (ohm) | 21.4974 | 35.0695 |

| Z0 Saluran (ohm) | 37.2377 | 172.8340 |
|-------------------------|----------------|-----------------|
|-------------------------|----------------|-----------------|

Perhitungan pada tabel 6 bisa dijabarkan dengan rumus :

$$\begin{aligned} Z_1 &= Z_1 (\text{ohm/kms}) \times 20\text{kms} \\ &= 0,1344 + j0,3158 \times 20 \\ &= 2,688 + j6,316 \text{ ohm} \end{aligned}$$

Untuk impedansi urutan nol kawat AAC ukuran 240mm² sepanjang 20 kms adalah :

$$\begin{aligned} Z_0 &= Z_0 (\text{ohm/kms}) \times 20\text{kms} \\ &= 0,2824 + j1,6034 \times 87 \\ &= 5,6448 + j32,068 \text{ ohm} \end{aligned}$$

Setelah mendapat hasil impedansi untuk ukuran 240mm² sepanjang 20 kms, jumlahkan impedansi tersebut dengan hasil impedansi ukuran 150mm² sepanjang 87kms, sehingga nilai impedansi yang muncul adalah impedansi total dari panjang penyulang.

$$\begin{aligned} Z_{\text{total}} &= Z_{1(150\text{mm})} + Z_{1(240\text{mm})} \\ &= (18,8094 + j28,7535) + (2,688 + j6,316) \\ &= 21,4974 + j35,0695 \text{ ohm} \end{aligned}$$

$$\begin{aligned} Z_{0(\text{total})} &= Z_{0(150\text{mm})} + Z_{0(240\text{mm})} \\ &= (31,5897 + j140,7660) + (5,6448 + j32,068) \\ &= 37,2377 + j172,8340 \text{ ohm} \end{aligned}$$

Tabel 7. Impedansi Kawat 240 mm²

| Persen | Impedansi 240mm² | | | |
|-----------------|------------------------------------|-----------|----------|-----------|
| | Z1 | Z0 | | |
| Jaringan | R | jX | R | Jx |
| 1% | 18.83628 | 28.81666 | 31.64618 | 141.0867 |
| 5% | 19.88427 | 30.50698 | 33.45159 | 149.4077 |
| 10% | 19.0782 | 29.3851 | 32.1545 | 143.9728 |
| 15% | 19.2126 | 29.7009 | 32.4369 | 145.5762 |
| 20% | 19.347 | 30.0167 | 32.7193 | 147.1796 |
| 25% | 19.4814 | 30.3325 | 33.0017 | 148.783 |
| 30% | 19.6158 | 30.6483 | 33.2841 | 150.3864 |
| 35% | 19.7502 | 30.9641 | 33.5665 | 151.9898 |
| 40% | 19.8846 | 31.2799 | 33.8489 | 153.5932 |
| 45% | 20.019 | 31.5957 | 34.1313 | 155.1966 |
| 50% | 20.1534 | 31.9115 | 34.4137 | 156.8 |
| 55% | 20.2878 | 32.2273 | 34.6961 | 158.4034 |
| 60% | 20.4222 | 32.5431 | 34.9785 | 160.0068 |
| 65% | 20.5566 | 32.8589 | 35.2609 | 161.6102 |
| 70% | 20.691 | 33.1747 | 35.5433 | 163.2136 |
| 75% | 20.8254 | 33.4905 | 35.8257 | 164.817 |

| | | | | |
|------|---------|---------|---------|----------|
| 80% | 20.9598 | 33.8063 | 36.1081 | 166.4204 |
| 85% | 21.0942 | 34.1221 | 36.3905 | 168.0238 |
| 90% | 21.2286 | 34.4379 | 36.6729 | 169.6272 |
| 95% | 21.363 | 34.7537 | 36.9553 | 171.2306 |
| 100% | 21.497 | 35.0695 | 37.2377 | 172.834 |

Rumus perhitungan di atas merupakan perhitungan untuk Z_1 dan Z_0 dengan jarak 100% sementara untuk hasil perhitungan Z_1 dan Z_0 kawat ukuran 240mm^2 per panjang penyulang dari 1%-100%, dapat dijabarkan seperti table 7 diatas.

E. Menghitung Impedansi Ekivalen Jaringan

Impedansi ekivalen yang pertama dihitung adalah impedansi ekivalen untuk kawat ukuran 150 mm^2 . Impedansi ekivalen jaringan dapat diambil data dari tabel sebelumnya dan dihitung dengan menggunakan rumus :

$$\begin{aligned} \text{Urutan positif dan urutan negatif } & (Z_{1\text{eq}} \text{ dan } Z_{2\text{eq}}) \\ Z_{1\text{eq}} = Z_{2\text{eq}} &= X_{s(20\text{kV})} + X_{t1} + Z_1 \\ &= j0,2278 + j0,792 + Z_1(\text{tergantung jarak}) \\ Z_{1\text{eq}} = Z_{2\text{eq}(1\%)} &= j0,2278 + j0,792 + Z_{1(1\%)} \\ &= j0,2278 + j0,792 + \\ 0,188094 + j0,287525 & \\ &= 0,188094 + j1,306808 \text{ ohm} \end{aligned}$$

Tabel 8. Perhitungan Impedansi Ekivalen urutan Positif Kawat 150mm^2

| 150mm^2 | $Z_{1\text{eq}}$ | |
|------------------|------------------|----------|
| | R | jX |
| 1% | 0.188094 | 1.306808 |
| 5% | 0.94047 | 2.456948 |
| 10% | 1.88094 | 3.894623 |
| 15% | 2.82141 | 5.332298 |
| 20% | 3.76188 | 6.769973 |
| 25% | 4.70235 | 8.207648 |
| 30% | 5.64282 | 9.645323 |
| 35% | 6.58329 | 11.083 |
| 40% | 7.52376 | 12.52067 |
| 45% | 8.46423 | 13.95835 |
| 50% | 9.4047 | 15.39602 |
| 55% | 10.34517 | 16.8337 |
| 60% | 11.28564 | 18.27137 |
| 65% | 12.22611 | 19.70905 |

| | | |
|------|----------|----------|
| 70% | 13.16658 | 21.14672 |
| 75% | 14.10705 | 22.5844 |
| 80% | 15.04752 | 24.02207 |
| 85% | 15.98799 | 25.45975 |
| 90% | 16.92846 | 26.89742 |
| 95% | 17.86893 | 28.3351 |
| 100% | 18.8094 | 29.77277 |

Berdasarkan hasil perhitungan tabel 8 diatas $Z_{1\text{eq}}$ untuk 1% dari panjang jaringan, maka dapat dibuat tabel perhitungan $Z_{1\text{eq}}$ dari 1%-100% panjang jaringan seperti tabel diatas. Kemudian menghitung impedansi ekivalen urutan nol untuk kawat ukuran 150 mm^2 sepanjang 87 kms, data diambil dari tabel sebelumnya pada kolom Z_0 dengan rumus :

$$\begin{aligned} \text{Urutan nol } & (Z_{0\text{eq}}) \\ Z_{0\text{eq}} &= X_{t0} + 3.RN + Z_0 \\ &= j7,92 + 120 + Z_0(\text{tergantung jarak}) \\ Z_{0\text{eq}(1\%)} &= j7,92 + 120 + Z_{0(1\%)} \\ &= j7,92 + 120 + 0,315897 + j1,40766 \\ &= 120,3159 + j9,32766 \text{ ohm} \end{aligned}$$

Tabel 9. Perhitungan Impedansi Ekivalen Urutan Nol Kawat 150mm^2

| | 150mm^2 | | $Z_{0\text{eq}}$ |
|-----|------------------|----------|------------------|
| | R | jX | |
| 1% | 120.3159 | 9.32766 | |
| 5% | 121.5795 | 14.9583 | |
| 10% | 123.159 | 21.9966 | |
| 15% | 124.7385 | 29.0349 | |
| 20% | 126.3179 | 36.0732 | |
| 25% | 127.8974 | 43.1115 | |
| 30% | 129.4769 | 50.1498 | |
| 35% | 131.0564 | 57.1881 | |
| 40% | 132.6359 | 64.2264 | |
| 45% | 134.2154 | 71.2647 | |
| 50% | 135.7949 | 78.303 | |
| 55% | 137.3743 | 85.3413 | |
| 60% | 138.9538 | 92.3796 | |
| 65% | 140.5333 | 99.4179 | |
| 70% | 142.1128 | 106.4562 | |
| 75% | 143.6923 | 113.4945 | |

| | | | | | |
|------|----------|----------|------|---------|----------|
| 80% | 145.2718 | 120.5328 | 85% | 21.0942 | 35.14137 |
| 85% | 146.8512 | 127.5711 | 90% | 21.2286 | 35.45717 |
| 90% | 148.4307 | 134.6094 | 95% | 21.363 | 35.77297 |
| 95% | 150.0102 | 141.6477 | 100% | 21.4974 | 36.08877 |
| 100% | 151.5897 | 148.686 | | | |

Berdasarkan hasil perhitungan tabel diatas, Z_{0eq} untuk 1% dari panjang jaringan, maka dapat dibuat tabel perhitungan Z_{0eq} dari 1%-100% panjang jaringan seperti tabel diatas. Hasil perhitungan impedansi ekivalen urutan positif, urutan negatif dan urutan nol telah didapat untuk penghantar kawat ukuran 150 mm². Selanjutnya menghitung impedansi ekivalen untuk kawat penghantar ukuran 240mm² sepanjang 20 kms, data diambil dari tabel sebelumnya. Rumus yang digunakan sama seperti impedansi ekivalen untuk ukuran 150mm².

$$\begin{aligned}
 Z_{1e} &= Z_{2eq} = X_{s(20\text{kV})} + X_{t1} + Z_1 \\
 &= j0,2278 + j0,792 + Z_1(\text{tergantung jarak}) \\
 Z_{1eq} &= Z_{2eq(100\%)} = j0,2278 + j0,792 + Z_{1(100\%)} \\
 &= j0,2278 + j0,792 + 21,4974 + j35,0695 \text{ ohm} \\
 &= 21,4974 + 36,08877 \text{ ohm}
 \end{aligned}$$

Tabel 10. Perhitungan Impedansi Urutan Positif Kawat 240mm²

| Persen Jaringan | R | Z_{1eq} | jX |
|-----------------|----------|-----------|----|
| 1% | 18.83628 | 29.83593 | |
| 5% | 19.88427 | 31.52625 | |
| 10% | 19.0782 | 30.40437 | |
| 15% | 19.2126 | 30.72017 | |
| 20% | 19.347 | 31.03597 | |
| 25% | 19.4814 | 31.35177 | |
| 30% | 19.6158 | 31.66757 | |
| 35% | 19.7502 | 31.98337 | |
| 40% | 19.8846 | 32.29917 | |
| 45% | 20.019 | 32.61497 | |
| 50% | 20.1534 | 32.93077 | |
| 55% | 20.2878 | 33.24657 | |
| 60% | 20.4222 | 33.56237 | |
| 65% | 20.5566 | 33.87817 | |
| 70% | 20.691 | 34.19397 | |
| 75% | 20.8254 | 34.50977 | |
| 80% | 20.9598 | 34.82557 | |

Berdasarkan hasil perhitungan table 10 diatas, Z_{0eq} untuk 100% dari panjang jaringan kawat 240mm², maka dapat dibuat tabel perhitungan Z_{1eq} dari 1%-100% panjang jaringan seperti tabel diatas. Kemudian menghitung impedansi ekivalen urutan nol untuk kawat ukuran 240mm² sepanjang 20 kms, data diambil dari tabel sebelumnya pada kolom $Z_{0dengan rumus :$

$$\begin{aligned}
 \text{Urutan nol } (Z_{0eq}) \\
 Z_{0eq} &= X_{t0} + 3.RN + Z_0 \\
 &= j7,92 + 120 + Z_0(\text{tergantung jarak}) \\
 Z_{0eq(100\%)} &= j7,92 + 120 + Z_{0(100\%)} \\
 &= j7,92 + 120 + 37,2377 + j172,834 \\
 &= 157,2377 + j180,754 \text{ ohm}
 \end{aligned}$$

Tabel 11. Impedansi Ekivalen Urutan Nol Kawat 240mm²

| Persen Jaringan | 240mm^2 | | Z_{0eq} |
|-----------------|------------------|----------|-----------|
| | R | jX | |
| 1% | 151.6462 | 149.0067 | |
| 5% | 153.4516 | 157.3277 | |
| 10% | 152.1545 | 151.8928 | |
| 15% | 152.4369 | 153.4962 | |
| 20% | 152.7193 | 155.0996 | |
| 25% | 153.0017 | 156.703 | |
| 30% | 153.2841 | 158.3064 | |
| 35% | 153.5665 | 159.9098 | |
| 40% | 153.8489 | 161.5132 | |
| 45% | 154.1313 | 163.1166 | |
| 50% | 154.4137 | 164.72 | |
| 55% | 154.6961 | 166.3234 | |
| 60% | 154.9785 | 167.9268 | |
| 65% | 155.2609 | 169.5302 | |
| 70% | 155.5433 | 171.1336 | |
| 75% | 155.8257 | 172.737 | |
| 80% | 156.1081 | 174.3404 | |
| 85% | 156.3905 | 175.9438 | |

| | | |
|------|----------|----------|
| 90% | 156.6729 | 177.5472 |
| 95% | 156.9553 | 179.1506 |
| 100% | 157.2377 | 180.754 |

Hasil perhitungan impedansi ekivalen urutan positif, urutan negatif dan urutan nol untuk kawat penghantar ukuran 240 mm^2 sudah diketahui seperti pada tabel sebelumnya diatas.

F. Menghitung Arus Gangguan Hubung Singkat

Seperti telah dijelaskan di atas, bahwa gangguan hubung singkat terbagi menjadi tiga jenis yaitu, gangguan hubung singkat tiga fasa, gangguan hubung singkat dua fasa dan gangguan hubung singkat satu fasa ketanah. Sehingga rumus perhitungan masing-masing arus gangguan pun berbeda.

Perhitungan arus gangguan hubung singkat tiga fasa dapat dihitung dengan rumus :

$I_{3\text{fh}} = V_{\text{ph}}/Z_{\text{leq}}$
 V_{ph} yang dipakai adalah tegangan fasa-netral sistem $20\text{kV} = 20000/\sqrt{3} = 11547$ volt Sedangkan Z_{leq} yang sebelumnya berbentuk bilangan imajiner, dirubah dahulu ke bentuk bilangan real.

Misal untuk Z_{leq} pada penghantar ukuran 150 mm^2 dengan jarak 1% dari panjang penyulang = $0,18809+j1,30681$.

Dirubah kebilangan real sehingga :

$$\begin{aligned} Z_{\text{leq}} &= \sqrt{R^2 + jX^2} \\ &= \sqrt{0,18809^2 + 1,30681^2} \\ &= 1,320274891 \text{ ohm} \end{aligned}$$

Tabel 12. Data Peralatan Proteksi PE6

| PRO TEK SI KE- | KODE PROTEKSI | LOKASI | JARAK DARI GI/PANJ ANG | MERK |
|-------------------------|---------------------|--------------|---------------------------------|-----------|
| 1 | GHPPI | PINTU PADANG | 25 | Schneider |
| 2 | REC. PERBANGUNAN | PERBANG UNAN | 50 | Schneider |
| 3 | REC. MAGA | MAGA | 75 | Cooper F6 |

Tabel 13. Data Setting Proteksi Sebelum Penelitian

| GFR | | | | | | | |
|----------|--------------------|-------------|--------------------|----------------------|--------------------|-----------------------|--------------------|
| OCR | | GFR | | | | | |
| I > | Curve ; tms> | I >> | Curve ; tms> | I0 > ; tms> | Curve ; tms> | I0 >> ; tms> | Curve ; tms> |
| 200 A | SI; 0,03 | 1000 A | Deft; 00 ms | 20 A | SI; 0,03 | 150 A | Deft; 00 ms |
| 150 A | SI; 0,05 | 750A SI; | IEC A | 20 A | SI; 0,05 | 100 A | IEC SI; |

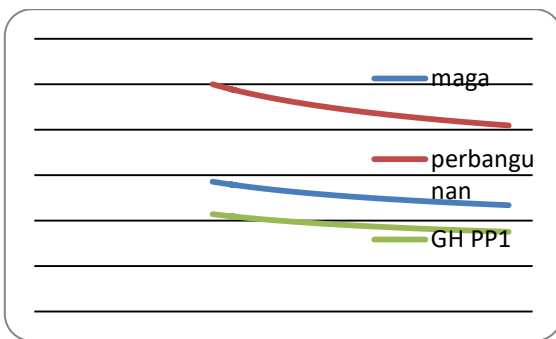
| | | | | | | | | |
|----------|-------------|------|-------------|---------|-------------|----------|-------------|------|
| | | | | | 0,05 | | | 0,05 |
| 120 A | SI; 0,04 | 600A | SI; 0,04 | 20 A | SI; 0,04 | 100 A | SI; 0,04 | |

Tabel 14. Perhitungan Waktu Trip Relai Proteksi Gangguan 1 Fasa ke Tanah

| Arus Gangguan (A) | Rec. Maga (detik) | Rec. Perbangunan (detik) | GH PP1 (detik) |
|-------------------------|----------------------|--------------------------------|-------------------|
| 107.3824 | 0.057119 | 0.099957903 | 0.042839 |
| 108.0837 | 0.057036 | 0.09981236 | 0.042777 |
| 108.7932 | 0.056952 | 0.099666474 | 0.042714 |
| 109.5111 | 0.056869 | 0.099520244 | 0.042652 |
| 110.2374 | 0.056785 | 0.099373671 | 0.042589 |
| 110.9724 | 0.056701 | 0.099226755 | 0.042526 |
| 111.7161 | 0.056617 | 0.099079496 | 0.042463 |
| 112.4686 | 0.056533 | 0.098931895 | 0.042399 |
| 113.2302 | 0.056448 | 0.098783953 | 0.042336 |
| 114.0009 | 0.056363 | 0.098635669 | 0.042272 |
| 114.7809 | 0.056278 | 0.098487046 | 0.042209 |
| 115.5703 | 0.056193 | 0.098338084 | 0.042145 |
| 116.3693 | 0.056108 | 0.098188784 | 0.042081 |
| 117.178 | 0.056022 | 0.098039147 | 0.042017 |
| 117.9965 | 0.055937 | 0.097889176 | 0.041953 |
| 118.825 | 0.055851 | 0.097738871 | 0.041888 |
| 119.6636 | 0.055765 | 0.097588235 | 0.041824 |
| 120.5125 | 0.055678 | 0.09743727 | 0.041759 |
| 121.3718 | 0.055592 | 0.097285977 | 0.041694 |
| 118.1926 | 0.055916 | 0.097853456 | 0.041937 |
| 122.9454 | 0.055436 | 0.097012834 | 0.041577 |
| 123.1224 | 0.055419 | 0.096982421 | 0.041564 |
| 127.4874 | 0.055001 | 0.096251411 | 0.041251 |
| 132.1397 | 0.054577 | 0.095510235 | 0.040933 |
| 137.1042 | 0.054148 | 0.094758854 | 0.040611 |
| 142.4077 | 0.053713 | 0.093997313 | 0.040285 |
| 148.0793 | 0.053272 | 0.093225775 | 0.039954 |
| 154.1497 | 0.052825 | 0.092444548 | 0.039619 |
| 160.6514 | 0.052374 | 0.091654137 | 0.03928 |
| 167.6174 | 0.051917 | 0.090855298 | 0.038938 |
| 175.0808 | 0.051457 | 0.090049115 | 0.038592 |
| 183.0727 | 0.050993 | 0.089237088 | 0.038244 |
| 191.6197 | 0.050526 | 0.088421253 | 0.037895 |
| 200.7404 | 0.05006 | 0.087604323 | 0.037545 |
| 210.4395 | 0.049594 | 0.086789866 | 0.037196 |
| 220.7013 | 0.049133 | 0.085982504 | 0.03685 |
| 231.4792 | 0.048679 | 0.085188153 | 0.036509 |

| | | | |
|----------|----------|-------------|----------|
| 242.684 | 0.048237 | 0.084414262 | 0.036178 |
| 254.1689 | 0.047811 | 0.083670048 | 0.035859 |
| 265.715 | 0.04741 | 0.082966648 | 0.035557 |
| 277.0184 | 0.047038 | 0.082317141 | 0.035279 |
| 285.6252 | 0.046769 | 0.081846221 | 0.035077 |

Dari tabel di atas dapat diubah ke kurva koordinasi waktu *trip* relai sebagai berikut :



Gambar 3. Kurva Perhitungan Waktu Trip Relai Gangguan 1 Fasa ke Tanah

Setelah didapat hasil perhitungan waktu *trip* relai masing-masing peralatan proteksi, dapat dilihat pada grafik bahwa peralatan proteksi belum mencapai koordinasi dimana waktu *trip* pada GH PP1 selalu lebih cepat dari *Recloser*. Perbangunan dan *Recloser* Maga. Dampak dari tidak berkoordinasinya GH PP1 adalah apabila terjadi gangguan di ujung jaringan, maka GH PP1 yang akan trip terlebih dahulu, sehingga daerah padam akan meluas dan pelacakan gangguan membutuhkan waktu yang lebih lama. Dari data gangguan JTM tanggal 27-31 Mei 2017 dapat dilihat bahwa GH PP1 selalu trip apabila terjadi gangguan, bahkan apabila gangguan di ujung jaringan, GH PP1 lah yang trip terlebih dahulu.

G. Perhitungan Waktu Trip Relai Proteksi Setelah Resetting

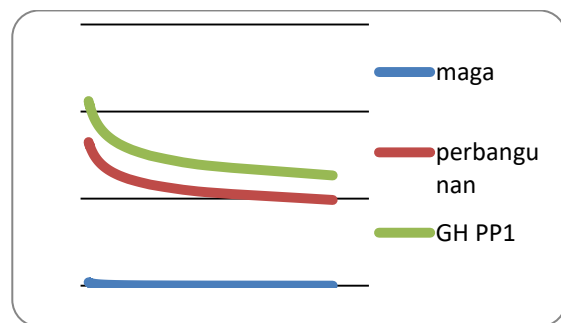
Resetting peralatan proteksi dilakukan manual dengan cara datang ke lokasi peralatan terpasang dan melakukan setting yang disetujui. *Resetting* peralatan proteksi penyulang PE6 dilaksanakan pada tanggal 2 Juni 2019 dengan data sebagai berikut :

Tabel 15. Data Setting Peralatan Proteksi Setelah *Resetting*

| SETTING | GFR | | | | | | | |
|---------|--------------|-------------|--------------|-------------|--------------|--------------|--------------|--|
| | OCR | | GFR | | | | | |
| I > | Curve ; tms> | I >> ; tms> | Curve ; tms> | I0 > ; tms> | Curve ; tms> | I0 >> ; tms> | Curve ; tms> | |

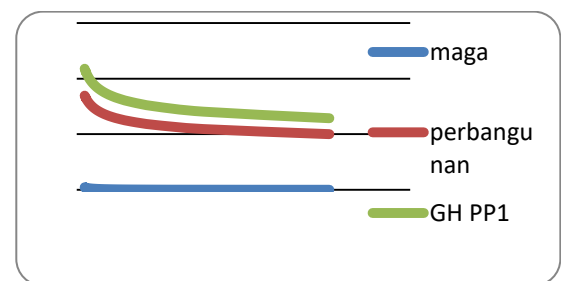
| | | | | | | | |
|-------|----------------|-------|----------------|------|----------------|------|----------------|
| 200 A | SI; 0,09 | 600 A | Deft; 90 ms | 20 A | SI; 0,09 | 60 A | Deft; 900 ms |
| 140 A | SI; 0,07 | 420 A | IEC SI; 0,07 | 15 A | SI; 0,07 | 45 A | IEC SI; 0,07 |
| 120 A | Kyle 112; 0,04 | 600 A | Kyle 112; 0,04 | 12 A | Kyle 112; 0,04 | 40 A | Kyle 112; 0,04 |

Hasil perhitungan waktu *trip* relai proteksi setelah *resetting* bisa dijabarkan seperti grafik berikut :



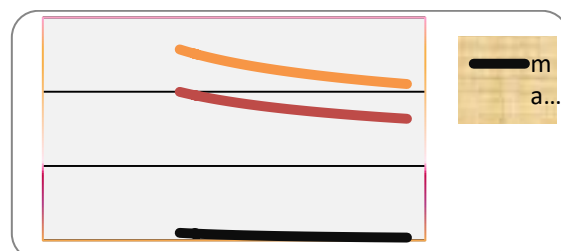
Gambar 4. Kurva Perhitungan Waktu Trip Relai Gangguan 3 Fasa Setelah *Resetting*

Grafik di atas merupakan grafik perhitungan waktu *trip* relai setelah *resetting* untuk gangguan tiga fasa.



Gambar 5. Kurva Perhitungan Waktu Trip relai Gangguan 2 Fasa Setelah *Resetting*

Grafik di atas merupakan grafik perhitungan waktu *trip* relai setelah *resetting* untuk gangguan dua fasa.



Gambar 6. Kurva Perhitungan Waktu Trip Relai gangguan 1 Fasa ke Tanah Setelah *Resetting*

Grafik di atas merupakan grafik perhitungan waktu *trip* relai setelah resetting untuk gangguan satu fasa ke tanah. Berdasarkan hasil perhitungan waktu *trip* relai setelah *resetting*, dapat disimpulkan bahwa peralatan proteksi untuk penyulang PE6 telah dapat berkoordinasi sesuai wilayah kerjanya. Sehingga diharapkan gangguan yang terjadi di lokasi tertentu, dapat diminimalkan daerah padamnya.

V. KESIMPULAN

Reaktansi sumber penyulang PE6 adalah 0,2278 ohm, reaktansi trafo daya adalah 7,92 ohm dan impedansi penyulang adalah $18,8094 + j28,7535$ ohm. Besar gangguan pada penyulang PE6 adalah Untuk gangguan tiga fasa nilai arus gangguannya antara 274,88 sampai dengan 8745,91 ampere. Untuk gangguan dua fasa nilai arus gangguannya antara 238,05 sampai dengan 7574,18 ampere. Untuk gangguan satu fasa ketanah nilai arus gangguannya antara 107,38 sampai dengan 285,65 ampere. Besaran setting relai yang tepat untuk penyulang PE6 adalah sebagai berikut, *Setting Over Current Relai* (OCR) yaitu arus pada angka 200 ampere, menggunakan kurva Standart *Invers* dengan *Time Multiple Setting*nya 0,09, sedangkan arus instannya *disetting* 600 ampere. *Setting Ground Fault Relai* (GFR) yaitu arus setting di angka 20 ampere, menggunakan kurva Standart *Invers* dengan *Time Multiple Setting*nya 0,09. Sedangkan arus instannya *disetting* 60 ampere. Dampak yang diperoleh dari hasil perhitungan arus gangguan hubung singkat dan setting peralatan proteksi antara lain: Perhitungan arus gangguan akan memudahkan petugas dalam menentukan titik lokasi gangguan berdasarkan jenis gangguan dan arus gangguan yang muncul pada layar peralatan proteksi. Setting peralatan proteksi berkaitan dengan koordinasi antar peralatan proteksi tersebut, apabila *setting*nya sesuai, maka peralatan proteksi dapat bekerja sesuai syarat-syarat peralatan proteksi. Koordinasi yang baik antar peralatan proteksi membuat pelayanan penyaluran tenaga listrik tetap prima, peralatan proteksi akan mengamankan daerah kerjanya sehingga pemadaman akibat gangguan bias diminimalisir. Gangguan setelah resetting peralatan proteksi menjadi berkurang. *Recloser* Maga dan *recloser* Perbangunan yang tadinya jarang bekerja sekarang telah bekerja sesuai fungsinya mengamankan gangguan di wilayahnya.

VI. DAFTAR PUSTAKA

- [1] Affandi, Irfan, 2009, "Analisa Setting Relai Arus Lebih dan Relai Gangguan Tanah pada Penyulang Sadewa di GI Cawang", Universitas Indonesia, Jakarta.
- [2] Cooper, 2008, "Kyle Form 6 Recloser Control", Cooper Power Systems, USA.
- [3] Djiteng Marsudi, 1990, "Operasi Sistem Tenaga Listrik," Institut Sains dan Teknologi Nasional, Jakarta.
- [4] K Pribadi, Wahyudi SN, 2012, "Koordinasi Proteksi Distribusi Pada Sistem Dasar", PT. PLN (Persero) Pusdiklat, Jakarta.
- [5] Kholis, Ikhwannul, 2013, "Analisa Gangguan Hubung Singkat", Universitas Indonesia, Jakarta.
- [6] Schneider, 2008, "N-Series Recloser with ADVC Controller", Schneider Electric, Australia.
- [7] Suhadi, Dkk., 2008, Teknik Distribusi Tenaga Listrik Jilid 3, Depeartemen Pendidikan Nasional, Jakarta.
- [8] Suswanto, Daman, 2009, Sistem Distribusi Tenaga Listrik, Universitas Negeri Padang, Padang.
- [9] William D. Stevenson, Jr.1993"Analisa Sistem Tenaga Listrik edisi ke-empat,"Erlangga, Jakarta.
- [10] I Roza.2018."Analisis Penurunan Cos phi dengan menentukan Kapasitas Kapasitor Bank Pada Pembangkit Tenaga Listrik Pabrik Kelapa Sawit (PKS)" Journal of Electrical and System Control Engineering.
- [11] I Roza.2018"Analisa Pembangkit Pengatur Tegangan Pada Penyulang 20 kV (Aplikasi Gardu Induk PT PLN (Persero) Sei Rotan)" Rekayasa Elektrikal dan Energi (RELE).
- [12] I Roza.2018."Analisis Tegangan Jatuh Lokasi Penempatan Trafo Distribusi 20 kV Untuk Penyaluran Energi" Journal of Electrical and System Control Engineering.
- [13] Indra Roza.2019"Analisa Perbaikan Drop Voltage dengan trafo sisip sistem distribusi JTR di PT. PLN (Persero) Rayon Perbaungan dengan Aplikasi Program Etap" Seminar Nasional Teknik (SEMNASTEK) UISU.
- [14] Indra Roza,Faisal Irsan Pasaribu,Muhammad Fadlan Siregar,Syafriwel,Jhoni Hidayat. 2019. "Analysis of OCR Setting and GFR 20 kV Power Transformer Substation Kualanamu North Sumatra"Journal Online Jaringan Pengajian Seni Bina (JOJAPS) Journal Online Jaringan Pengajian Seni Bina (JOJAPS) Journal Online Jaringan Pengajian Seni Bina (JOJAPS).